

## تحلیل ارتعاشی پوسته استوانه‌ای با طول محدود در تماس با سیال ایده‌آل

مصطفی غیور

استادیار-دانشگاه صنعتی اصفهان، دانشکده مهندسی مکانیک  
[ghayour@cc.iut.ac.ir](mailto:ghayour@cc.iut.ac.ir)

محسن محمدی

کارشناس ارشد-دانشگاه صنعتی اصفهان، دانشکده مهندسی مکانیک  
[mohammadi\\_mo83@yahoo.com](mailto:mohammadi_mo83@yahoo.com)

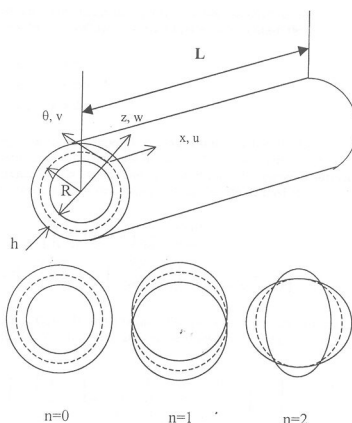
احمد صداقت

استادیار-دانشگاه صنعتی اصفهان، دانشکده مهندسی مکانیک  
[sedaghat@cc.iut.ac.ir](mailto:sedaghat@cc.iut.ac.ir)

تماس با سیال روش تبدیل فوریه می‌باشد که در آن تبدیل فوریه معکوس موردنیاز است و در تبدیل معکوس فوریه از روش باقیمانده ها [۸، ۷] و یا از روش انتگرال کانتور [۹، ۱۰] استفاده می‌شود که روش‌های سیار مشکلی در مقایسه با روش انتشار موج می‌باشند. یکی دیگر از روش‌ها انتگرال کیری عددی در طول محور حقیقی در ناحیه عدد موج مختلط می‌باشد [۱۱] که برای جلوگیری از نقاط تکین درتابع انتگرال پوسته را با میرائی در نظر می‌گیرند. در این مقاله با استفاده از معادلات تئوری پوسته نازک لاو و بیان جابجایی‌های پوسته به صورت امواج منتشر شده به صورت طولی و محیطی بر اساس روش انتشار موج [۱۲، ۱۳] و در نظر گرفتن اثر سیال داخلی، اثر سیال خارجی و اثر سیال داخلی و خارجی به طور همزمان، فرکانس‌های طبیعی پوسته ای به طول محدود در حالت دوسرگیردار محاسبه شده و با فرکانس‌های در خلا متفاوتند. همچنین اثر پارامتر محدود طولی  $m$  و شرایط مرزی بر فرکانس‌های پوسته در تماس با سیال داخلی و خارجی بررسی شده است. با افزایش  $n$  اختلاف بین فرکانس کوپل شده و در خلا کاهش می‌یابد اما پس از عبور از فرکانس اصلی این اختلاف افزایش می‌یابد. پارامتر  $m$  و خارجی با روش انتشار موج بررسی شده است.

معادلات پوسته نازک استوانه‌ای

پوسته ای نازک با ضخامت یکنواخت  $h$  و طول  $L$  و شعاع  $R$  در شکل (۱) نشان داده شده است. سطح مرجع پوسته بر روی سطح میانی پوسته می‌باشد جاییکه مختصات متعدد  $(x, \theta, z)$  روی آن قرارداد بطوریکه



شکل ۱- سیستم مختصات و شکل مودهای محیطی

چکیده

با هدف بررسی اثر سیال ایده‌آل بر فرکانس‌های طبیعی پوسته استوانه‌ای، فرکانس‌های طبیعی پوسته استوانه‌ای با طول محدود در حالت دوسرگیردار، در شرایط پر از سیال، غوطه ور در سیال و همچنین در تماس با سیال داخلی و خارجی به روش انتشار موج و همچنین توسط نرم افزار ABAQUS محاسبه شده است. تطابق خوبی بین نتایج حاصل از روش انتشار موج و نرم افزار مذکور وجود دارد. علت حرکت بخشی از سیال به همراه پوسته در هنگام ارتعاش، فرکانس‌های طبیعی کوپل شده پائین تراز فرکانس‌های در خلا می‌باشد. شکل مودهای کوپل شده مشابه شکل مودهای در خلا می‌باشد اما فرکانس‌ها و اندازه جابجاییها متفاوتند. همچنین اثر پارامتر محدود طولی  $m$  و شرایط مرزی بر فرکانس‌های پوسته در تماس با سیال داخلی و خارجی بررسی شده است. با افزایش  $n$  اختلاف بین فرکانس کوپل شده و در خلا کاهش می‌یابد اما پس از عبور از فرکانس اصلی این اختلاف افزایش می‌یابد. پارامتر  $m$  و شرایط مرزی فقط در مودهای پائین مهم می‌باشند.

واژه‌های کلیدی: فرکانس طبیعی، سیال ایده‌آل، پوسته استوانه‌ای  
**مقدمه**

پوسته استوانه‌ای بخش اصلی تشکیل دهنده سیاری از سازه‌های مکانیکی از جمله زیردریا‌ئی‌ها و موشکها می‌باشد. مطالعه کاملی از کارهای انجام شده در زمینه ارتعاشات پوسته‌ها را می‌توان در [۲، ۱] مشاهده کرد. همچنین انواع تئوری‌های نازک در [۳، ۲] بیان شده است. همچنین جانگر کارهای انجام شده در زمینه خواص ارتعاشی آکوستیکی پوسته‌ها را در [۴] بیان نموده است. ارتعاشات آزاد و اجرایی پوسته استوا نه ای نامحدود توسط بلج و بارون [۵] بررسی شده است همچنین اثر وجود سیال داخلی و خارجی بر ارتعاشات پوسته استوانه‌ای نامحدود در کار و ارتبرتون [۶] قابل مشاهده است. رابطه تحلیلی مشخصی برای در نظر گرفتن اثرات لبه ای پوسته با طول محدود و غوطه ور در سیال وجود ندارد. همچنین در هنگام وجود سیال سنگین مانند آب به علت کوپل شوندگی قوی بین سازه و محیط آکوستیک امیدانی منتشر شده قابل صرفنظر نیست و حل اینگونه مسائل به دلیل وجود مکانیزم بازخوردی بین فشار منتشر شده و پاسخ سازه الاستیک، مشکل است. از روش‌های مرسوم در حل مسائل ارتعاشات پوسته در

$$\{\kappa_1, \kappa_2, \tau\} = \left\{ -\frac{\partial^2 w}{\partial x^2}, \frac{1}{R^2} \left( -\frac{\partial^2 w}{\partial \theta^2} + \frac{\partial v}{\partial \theta} \right), \frac{1}{R} \left( -\frac{\partial^2 w}{\partial x \partial \theta} + \frac{\partial v}{\partial x} \right) \right\} \quad (11)$$

با ترکیب روابط گفته شده و در نظر گرفتن بار انتشاری اطراف پوسته به صورت نیروی وارد بر واحد سطح می‌توان معادلات حرکت پوسته را به شکل زیر نوشت [۱۴]:

$$\frac{E h}{1-\nu^2} [L_D] U + \rho h \omega^2 [I] U = F \quad (12)$$

اپراتورهای دیفرانسیلی بر حسب  $x, \theta, \omega$  بوده و  $U$  بردار جابجایی پوسته، فرکانس دایره‌ای، ماتریس همانی،  $F$  بردار نیروهای وارد بر واحد سطح پوسته می‌باشد.

#### معادله فشار آکوستیک

سیال در تماس با پوسته استوانه ای، بدون ویسکوزیته و ایزوتrop بوده و معادله موج آکوستیک (۱۳) را ارضاء می‌کند. معادله موج یا معادله هلمهورتز را در مختصات استوانه ای به صورت زیر می‌نویسند [۱۳]:

$$\frac{1}{r} \frac{\partial}{\partial r} (r \frac{\partial p}{\partial r}) + \frac{1}{r^2} \frac{\partial^2 p}{\partial \theta^2} + \frac{\partial^2 p}{\partial x^2} = \frac{1}{c^2} \frac{\partial^2 p}{\partial t^2} \quad (13)$$

$p$  فشار آکوستیک،  $c$  سرعت صوت در سیال می‌باشد.

جواب معادله موج برای امواج منتشر شده به سمت خارج پوسته استوانه ای به صورت ترکیبی از تابع بسل  $J$  و بسل  $Y$  می‌باشد و به تابع هنکل یا بسل نوع سوم معروف می‌باشد [۴] و آنرا با  $(H_n^{(1)})$  و  $(H_n^{(2)})$  یعنی هنکل نوع اول و نوع دوم نشان می‌دهند. بطوریکه هنکل نوع اول و دوام مزدوج هم می‌باشد:

$$H_n^{(2)}(x) = J_n(x) - i Y_n(x) \quad (14)$$

$i = \sqrt{-1}$  بوده و  $\mathbf{J}$  و  $\mathbf{Y}$  تابع بسل می‌باشند. جواب معادله موج برای امواج منتشر شده به سمت خارج پوسته به صورت (۱۵) می‌باشد [۱۵] که در آن اندازه فشار و  $k_r$  عدد موج شعاعی  $r$  فاصله شعاعی از محور پوسته استوانه ای می‌باشد.

$$p = p_{out} H_n^{(2)}(k_r r) \cos(n\theta) e^{(i\omega t - ik_x x)} \quad (15)$$

شکل امواج منتشر شونده به سمت داخل پوسته به گونه ای است که پاسخ معادله فشار برای این امواج بر حسب تابع بسل  $J$  بیان می‌شود [۱۵]

$$p = p_{in} J_n(k_r r) \cos(n\theta) e^{(i\omega t - ik_x x)} \quad (16)$$

$p_{in}$  اندازه فشار منتشر شده در داخل پوسته و  $n$  بیانگر پارامتر مود محیطی پوسته استوانه ای و  $\omega$  فرکانس دایره ای و  $k_x$  عدد موج طولی ایجاد شده در پوسته است که با پارامتر مود طولی پوسته  $m$  یعنی تعداد نیم موجهای طولی ایجاد شده رابطه دارد و بر اساس شرایط مرزی مشابه در یک تیر ساده بدست می‌آید [۱۶] مثلاً در شرایط دوسر گیر دار  $k_x = (2m+1)\pi/2L$  می‌باشد و در شرایط مرزی دوسرتکیه گاه ساده  $k_x = m\pi/L$  می‌باشد. عدم موجود مربوط به برخی شرایط مرزی در جدول ۱ قابل مشاهده می‌باشد. تکیه گاه ساده با  $SS$ ، تکیه گاه گیردار با  $C$ ، تکیه گاه غلتکی با  $SL$  نشان داده می‌شود و  $F$  تکیه گاه آزاد در انتهای پوسته می‌باشد.

#### شرط مرزی سطح مشترک سیال و پوسته

در هنگام ارتعاش پوسته و سیال برای اطمینان از اینکه سیال و پوسته از هم

جدا نمی‌شوند جایجایی شعاعی سیال و جایجایی شعاعی پوسته در سطح

$\theta$  در راستای طولی  $Z$  در راستای محیطی و  $Z$  در راستای شعاع پوسته می‌باشد. پوسته ایزوتropیک با مدول الاستیسیته  $E$  ضریب پواسون  $\nu$  و دانسیته جرمی  $\rho$  می‌باشد.

معادلات حرکت پوسته استوانه ای براساس تئوری لاو بصورت زیر می‌باشد:

$$\frac{\partial N_x}{\partial x} + \frac{1}{R} \frac{\partial N_{x\theta}}{\partial \theta} - \rho h \frac{\partial^2 u}{\partial t^2} = 0 \quad (1)$$

$$\frac{\partial N_{x\theta}}{\partial x} + \frac{1}{R} \frac{\partial N_\theta}{\partial \theta} + \frac{1}{R} \frac{\partial M_{x\theta}}{\partial x} + \frac{1}{R^2} \frac{\partial M_\theta}{\partial \theta} \quad (2)$$

$$- \rho h \frac{\partial^2 v}{\partial t^2} = 0 \quad (3)$$

$$\frac{\partial^2 M_x}{\partial x^2} + \frac{2}{R} \frac{\partial^2 M_{x\theta}}{\partial x \partial \theta} + \frac{1}{R^2} \frac{\partial^2 M_\theta}{\partial \theta^2} - \frac{N_\theta}{R} \quad (4)$$

$$- \rho h \frac{\partial^2 w}{\partial t^2} = 0 \quad (5)$$

زمان بوده و  $W, V, U$  مولفه‌های بردار جابجایی به ترتیب در راستاهای  $z, \theta, x$  می‌باشند. نیروهای برایند  $N_{x\theta}, N_\theta, N_x$  و مانهای برایند به صورت زیر با کرنشها و انحنای سطح مرجع رابطه دارند:

$$\{N\} = [S] \{\varepsilon\} \quad (4)$$

$$\{N\} = \{N_x, N_\theta, N_{x\theta}, M_x, M_\theta, M_{x\theta}\}^T \quad (5)$$

$$\{\varepsilon\} = \{e_1, e_2, \gamma, \kappa_1, \kappa_2, 2\tau\}^T \quad (6)$$

$$[S] = \begin{bmatrix} A_{11} & A_{12} & 0 & B_{11} & B_{12} & 0 \\ A_{12} & A_{22} & 0 & B_{12} & B_{22} & 0 \\ 0 & 0 & A_{66} & 0 & 0 & B_{66} \\ B_{11} & B_{12} & 0 & D_{11} & D_{12} & 0 \\ B_{12} & B_{22} & 0 & D_{12} & D_{22} & 0 \\ 0 & 0 & B_{66} & 0 & 0 & D_{66} \end{bmatrix} \quad (7)$$

بطوریکه  $D_{ij}, B_{ij}, A_{ij}$  به ترتیب سختی کششی، کوپلینگ و سختی خمی بوده و عبارتند از:

$$(A_{ij}, B_{ij}, D_{ij}) = \int_{-h/2}^{h/2} Q_{ij}(1, z, z^2) dz \quad (8)$$

در یک پوسته نازک که به صورت تنفس صفحه ای فرض می‌شود  $Q_{ij}$  سختی کاهش یافته بوده و عبارتست از:

$$[Q_{ij}] = \begin{bmatrix} \frac{E}{1-\nu^2} & \frac{Ev}{1-\nu^2} & 0 \\ \frac{Ev}{1-\nu^2} & \frac{E}{1-\nu^2} & 0 \\ 0 & 0 & \frac{E}{2(1+\nu)} \end{bmatrix} \quad (9)$$

در رابطه (۹)  $\gamma, e_2, e_1, \tau, \kappa_2, \kappa_1$  کرنشها و سطح مرجع و  $\tau$  انحنای سطح مرجع می‌باشند و به صورت زیر تعریف می‌شوند:

$$\{e_1, e_2, \gamma\} = \left\{ \frac{\partial u}{\partial x}, \frac{1}{R} \left( \frac{\partial v}{\partial \theta} + w \right), \frac{\partial v}{\partial x} + \frac{1}{R} \frac{\partial u}{\partial \theta} \right\} \quad (10)$$

$$FL = -\frac{\rho_f \omega^2}{k_r} \left( \frac{J_n(k_r R)}{J'_n(k_r R)} \right) \quad (22)$$

$$FL = \frac{\rho_f \omega^2}{k_r} \left( \frac{H_n^{(2)}(k_r R)}{H_n'^{(2)}(k_r R)} - \frac{J_n(k_r R)}{J'_n(k_r R)} \right) \quad (23)$$

بطوریکه  $J', H'$  مشتق توابع هنکل و بسل نسبت به آرگومان  $k_r R$  می‌باشدند. از طرفی عدد موج شعاعی  $k_r$  و عدد موج طولی  $k_x$  برای ارضاء شرایط انتشار و کاهش موج از طریق رابطه برداری  $k_r^2 + k_x^2 = k_0^2$  بهم رابطه دارند [۵] بطوریکه در آن  $k_0 = \omega/c$  عدد موج آکوستیک سیال و  $c$  سرعت صوت در سیال می‌باشد. بنابراین آرگومان توابع بسل و هنکل در معادله (۲۰) بر حسب  $\omega$  بوده و از حل این معادله متعالی مخلوط فرکانس پوسته بدست می‌آید. در صورتیکه  $FL=0$  معادله (۲۰) به معادله فرکانسی پوسته در خلاً تبدیل می‌شود که ریشه‌های آن برای جستجوی ریشه‌های معادله (۲۰) مورد استفاده قرار می‌گیرد.

### مدلسازی در ABAQUS

برای مدلسازی پوسته نازک می‌توان از المانهای S4R و یا S8R استفاده کرد و مدول الاستیک، ضربی پواسون، دانسیته جرمی و ضخامت پوسته به نرم افزارداده می‌شود. برای مدلسازی سیال می‌توان از المانهای آکوستیک AC3D8 و یا AC3D4 استفاده نمود و دانسیته جرمی سیال و مدول بالک ( $K_f$ ) به نرم افزار داده شده و خود نرم افزار از طریق رابطه

$$c = \sqrt{\frac{K_f}{\rho_f}} \quad (24)$$

به محاسبه سرعت صوت می‌پردازد. برای مدلسازی شرایط کوپلینگ می‌توان از اعمال قید Tie در سطح مشترک سیال و سازه استفاده کرد و یا از المانهای ASI استفاده نمود. همچنین برای مدلسازی محیط بینهایات سیال و شرط انتشار و عدم بازگشت امواج می‌توان از سطوح امپدانس ویالمانهای بینهایت SIMPEDANCE سیال بهره برد که در مردم سطح امپدانس دودستور IMPEDANCE قابل استفاده می‌باشد

### فرمول تقریبی

جانگر و فیت [۴] یک فرمول تقریبی برای محاسبه فرکانس پوسته استوانه‌ای غوطه و در سیال برای  $n > 0$  بدست آورده اند:

$$\Omega_{mn} = \frac{[(1-\nu^2)(k_x R/k_s R)^4 + \beta^2(k_s R)^4]^{1/2}}{(1+(\rho_f/\rho)(1/k_s h)(n^2/n^2+1))^{1/2}} \quad (25)$$

بطوریکه  $k_s = [(n/R)^2 + k_x^2]^{1/2}$  و  $\beta^2 = \frac{1}{12}(h/R)^2$  می‌باشدند. در حالت پوسته در خلاً رابطه (۲۵) به شکل (۲۶) در خواهد آمد که

مشابه رابطه ایست که سودل [۳] بدست آورده است

$$\Omega_{mn} = [(1-\nu^2)(k_x R/k_s R)^4 + \beta^2(k_s R)^4]^{1/2} \quad (26)$$

$\Omega = \omega R \sqrt{\rho(1-\nu^2)/E}$  پارامتر بی بعد فرکانس می‌باشد رابطه بین اعداد موج طولی و شعاعی بر حسب  $\Omega$  را می‌توان به صورت

$$\text{صورت } (\frac{c_l}{c})^2 + (k_r R)^2 = (\frac{c_l}{\Omega})^2 \quad (11)$$

سرعت انتشار موج در پوسته می‌باشد.

### بحث بروی نتایج

معادله فرکانسی بدست آمده دارای دو قسمت است که با صفر قراردادن

جدول ۱- عددموج مربوط به شرایط تکیه گاهی مختلف

شرایط مرزی	عددموج طولی
آزاد - آزاد	$k_x L = (2m+1)\pi/2$
آزاد - تکیه گاه غلتکی	$k_x L = (4m-1)\pi/4$
تکیه گاه گیردار - آزاد	$k_x L = (2m-1)\pi/2$
آزاد - تکیه گاه ساده	$k_x L = (4m+1)\pi/4$
تکیه گاه ساده - تکیه گاه ساده	$k_x L = m\pi$
تکیه گاه ساده - تکیه گاه گیردار	$k_x L = (4m+1)\pi/4$
دوستکیه گاه گیردار - غلتکی	$k_x L = (2m+1)\pi/2$
تکیه گاه گیردار - غلتکی	$k_x L = (4m-1)\pi/4$
غلتکی - غلتکی	$k_x L = m\pi$
غلتکی - تکیه گاه ساده	$k_x L = (2m-1)\pi/2$

مشترک آنها برابر می‌باشد [۵] شرط کوپل شدن سیال و پوسته به صورت (۱۷) می‌باشد:

$$-\frac{\partial p}{\partial r} = i\omega \rho_f \frac{\partial w}{\partial t} \Big|_{r=R} \quad (17)$$

که در آن  $\rho_f$  دانسیته سیال می‌باشد.

### روش انتشار موج

در این روش جابجاییهای پوسته به صورت امواج طولی و محیطی به صورت (۱۸) در نظر گرفته می‌شود که در آن  $W_m, V_m, U_m$  اندازه جابجایی ماکریم به ترتیب در راستای طولی، محیطی و شعاعی می‌باشند.

$$u = U_m \cos(n\theta) e^{(i\omega t - ik_x x)} \quad (18)$$

$$v = V_m \sin(n\theta) e^{(i\omega t - ik_x x)} \quad (18)$$

$$w = W_m \cos(n\theta) e^{(i\omega t - ik_x x)} \quad (18)$$

Jabjajeha (۱۸) و فشار های آکوستیک (۱۵) و (۱۶) ایجاد شده روی سطح خارجی و داخلی پوسته در معادله (۱۲) (قرار داده می‌شوند و با در نظر گرفتن رابطه (۱۷) یعنی کوپل شدن سیال و پوسته سه معادله خطی بر حسب

$$W_m, V_m, U_m \text{ بدست می‌آید} [۱۷]:$$

$$\begin{bmatrix} C_{11} & C_{12} & C_{13} \\ C_{21} & C_{22} & C_{23} \\ C_{31} & C_{32} & C_{33} - FL \end{bmatrix} \begin{bmatrix} U_m \\ V_m \\ W_m \end{bmatrix} = \begin{bmatrix} 0 \\ 0 \\ 0 \end{bmatrix} \quad (19)$$

که در آن  $C_{ij}$  ثابت‌هایی بر حسب  $E, h, \nu, n, k_x, R, \omega$  بوده و اثر وجود سیال است که از طریق شرط کوپل شوندگی سیال و سازه در معادلات ایجاد شده است پس از بسط دترمینان ضرایب، معادله زیر بدست می‌آید [۱۶]:

$$A(\omega) + B(\omega)FL = 0 \quad (20)$$

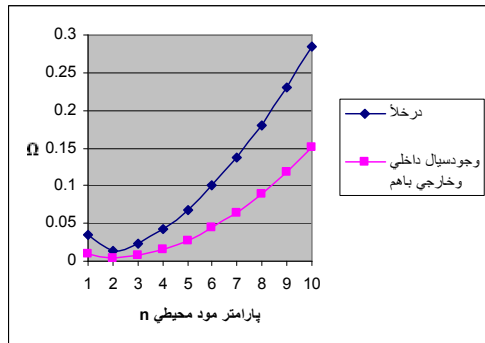
$A(\omega), B(\omega)$  چندجمله‌ای‌های بر حسب  $\omega$  بوده و  $FL$  در شرایط وجود سیال خارجی به صورت (۲۱)، در شرایط وجود سیال داخلی به صورت (۲۲) و در صورت وجود سیال داخلی و خارجی به صورت (۲۳) خواهد بود [۱۷]:

$$FL = \frac{\rho_f \omega^2}{k_r} \left( \frac{H_n^{(2)}(k_r R)}{H_n'^{(2)}(k_r R)} \right) \quad (21)$$

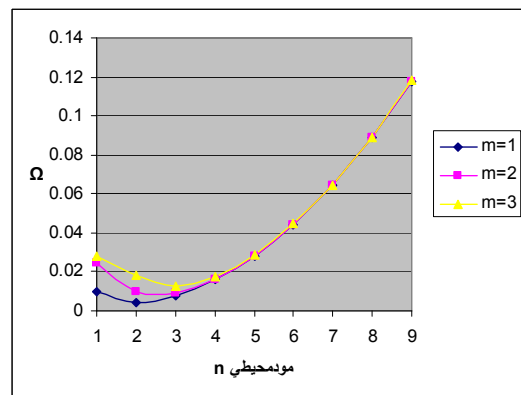
جدول-۴- فرکانس (هرتز) پوسته در شرایط مختلف با نرم افزار ABAQUS

شکل مود (m,n)	ABAQUS نرم افزار			
	در خلا	غوطه ور در آب	پراز آب	غوطه ور
(۱و۲)	۱۲/۰۶	۴/۷۱	۴/۸۸	۳/۵۱
(۱و۳)	۲۰/۱۰	۹/۴۰	۹/۶۰	۶/۷۲
(۲و۳)	۲۲/۶۲	۱۱/۱۱	۱۱/۱۵	۷/۷۸
(۲و۴)	۳۹/۱۰	۲۱/۲۵	۱۸/۲۲	۱۳/۳۱
(۳و۳)	۳۱/۹۹	۱۴/۹۵	۱۴/۷۲	۱۰/۶۸

برای بررسی اثر پارامتر  $n$ ، فرکانسهای طبیعی پوسته در تماس با سیال داخلی و خارجی در شکل ۲ با فرکانس های پوسته در خلا مقایسه شده است. همانطور که مشاهده می شود ابتدا با افزایش  $n$  اختلاف بین فرکانس کوپل شده و فرکانس در خلا کاهش می یابد اما پس از عبور از فرکانس اصلی این اختلاف ر به افزایش می باشد و در مودهای محیطی بالاتر اختلاف به مراتب بیشتر است.



شکل-۲- تغییرات فرکانس  $\Omega$  پوسته در خلا و پوسته در تماس با سیال داخلی و خارجی با  $n$  در حالت دو سرگیردار



شکل-۳- تغییرات فرکانس بی بعد  $\Omega$  برای پوسته در تماس با سیال داخلی و خارجی با  $m$  در حالت دو سرگیردار

همچنین برای بررسی اثر پارامتر  $m$  فرکانسهای پوسته در تماس با سیال داخلی و خارجی در مودهای مختلف در شکل ۳ مقایسه شده اند و همانطور که مشاهده می شود پارامتر  $m$  تنها در مورد مودهای پایین اهمیت داشته

در قسمت دوم آن به معادله فرکانسی پوسته در خلا تبدیل می شود که از حل آن فرکانس طبیعی پوسته در خلا بدست می آید. اما معادله فرکانسی ارتعاشات کوپل شده سیال و پوسته به علت وجود توابع بسل و هنکل و مشتقاتشان یک معادله مختلط متعالی<sup>۱</sup> بوده و حل آن بسیار مشکل است. به علت وجود سیال در اطراف پوسته به هنگام ارتعاش، بخشی از جرم سیال به همراه پوسته حرکت می کند لذا طبق رابطه پایه ای  $\omega = \sqrt{K/M}$  به همراه افزایش جرم، فرکانس کوپل شده کم تر از فرکانس در خلا می باشد لذا برای پیدا کردن ریشه ها باید از فرکانس در خلا به عنوان نقطه شروع جستجوی ریشه استفاده کرد و به ریشه مورد رسید. همانطور که در جداول ۲ الی ۴ مشاهده می شود وجود سیال در داخل یا خارج پوسته همچنین در دو طرف پوسته باعث کاهش قابل توجهی در فرکانسهای طبیعی می شود. در هنگام وجود سیال داخلی یا خارجی مقدار فرکانسها به طور تقریبی به نصف کاهش می یابد. فرکانسهای پوسته غوطه ور با فرمول تقریبی<sup>۲</sup> [۱] آنیز مقایسه شده و مشاهده می شود که فرکانسهای پوسته غوطه ور با فرمول تقریبی<sup>۳</sup> متفاوتند. فرمول تقریبی با هم تطابق خوبی دارند. ABAQUS و فرمول تقریبی دارند. فرمول تقریبی<sup>۴</sup> با سانیمتر<sup>۵</sup> با مدول الاستیسیته<sup>۶</sup> ۲۱۰ گیگا پاسکال و ضریب پواسون<sup>۷</sup> ۰/۳ دانسیته<sup>۸</sup> ۷۸۵ کیلوگرم بر متر مکعب در شرایط مرزی دو سرگیر دار در حالات مختلف بدست آمده است. سیال موردنظر، آب با دانسیته<sup>۹</sup> ۱۰۰۰ کیلوگرم بر متر مکعب و سرعت صوت<sup>۱۰</sup> ۱۵۰۰ متر بر ثانیه می باشد

جدول-۲- فرکانس(هرتز) پوسته غوطه ور

شکل (m,n)	روش انتشار موج	ABAQUS	فرمول تقریبی <sup>[۱]</sup>
(۱و۲)	۴/۹۵	۴/۷۱	۶/۱۵
(۱و۳)	۸/۹۵	۹/۴۰	۱۰/۵۴
(۲و۳)	۱۰/۶۶	۱۱/۱۱	۱۲/۲۰
(۲و۴)	۱۸/۷۱	۲۱/۲۵	۲۰/۵۴
(۳و۳)	۱۴/۷۳	۱۴/۹۵	۱۶/۲۲

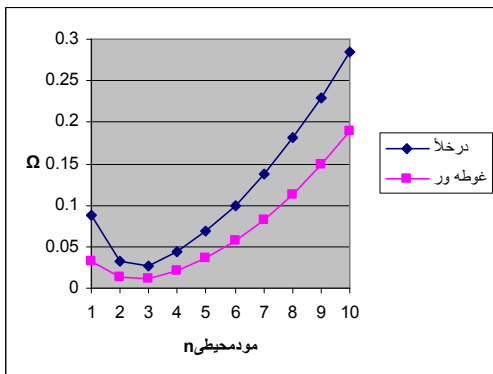
جدول-۳- فرکانس(هرتز) پوسته در شرایط مختلف با روش انتشار موج

شکل مود (m,n)	روش انتشار موج			
	در خلا	غوطه ور در آب	پراز آب	غوطه ور
(۱و۲)	۱۲/۱۷	۴/۹۵	۴/۹۳	۳/۶۴
(۱و۳)	۱۹/۶۱	۸/۹۵	۸/۹۴	۶/۶۸
(۲و۳)	۲۳/۲۸	۱۰/۶۶	۱۰/۶۴	۷/۹۵
(۲و۴)	۳۷/۳۷	۱۸/۷۱	۱۸/۷۳	۱۴/۱۶
(۳و۳)	۳۱/۹۸	۱۴/۷۳	۱۴/۶۶	۱۰/۹۷

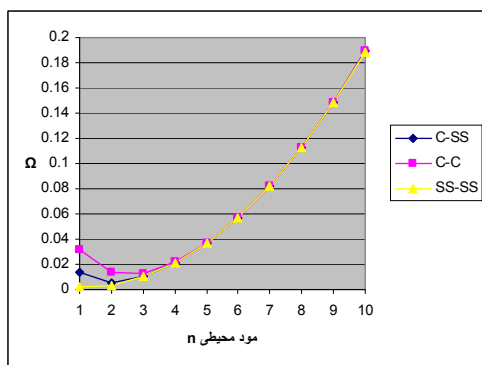
شکل مودهای بیان شده در جدول های ۲ تا ۴ به صورت  $(m,n)$  می باشد که عدد مودال<sup>۱</sup> در راستای طولی و  $n$  عدد مودال در راستای محیطی پوسته می باشد. برخلاف تیرهای که با افزایش عدد مود فرکانس افزایش می یابد در پوسته هاچینین رویه ای وجود ندارد به عنوان مثال (2,2)- تواند از مود (2,3) بیشتر باشد [۱۷].

<sup>1</sup>- Complex Transcendental Equation

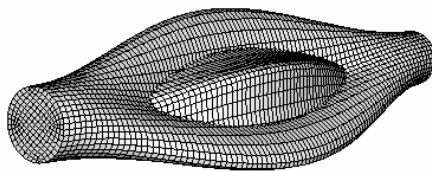
<sup>2</sup>- Modal Number



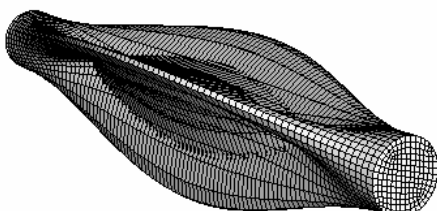
شکل ۶ - اثرپارامتر مود محیطی بر فرکانس‌های طبیعی پوسته غوطه ور



شکل ۷ - اثرپارامتر تکیه گاهی بر فرکانس‌های طبیعی پوسته غوطه ور

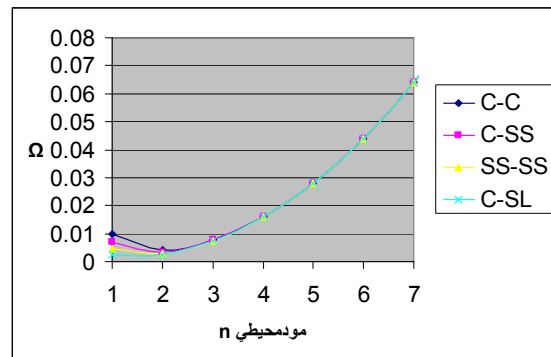


شکل ۸ - شکل مود (۱,۲) پوسته درخال



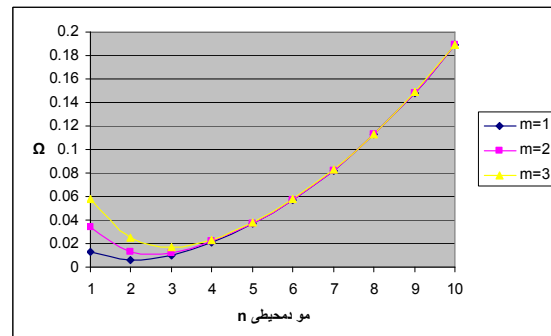
شکل ۹ - شکل مود (۱,۳) پوسته درخال

و در مودهای بالا پارامتر  $n$  برای معرفی مود مورد نظر کافی می‌باشد. همچنین برای بررسی اثرشایط تکیه گاهی پوسته بر فرکانس‌های طبیعی پوسته در تماس با سیال داخلی و خارجی فرکانس‌های آن در شایط تکیه گاهی مختلف در شکل ۴ مقایسه شده اند. همانطور که در شکل ۴ مشاهده می‌شود اثرشایط تکیه گاهی تنها در مودهای پایین مورداهمیت می‌باشد. و در شایط مرزی مختلف در شایط دوسرگیردار بالاترین فرکانس و در شایط یک سرگیردار و یک سر تکیه گاه غلتکی پایین ترین فرکانس در مود مشابه بدست می‌آید.



شکل ۴ - تغییرات فرکانس بی بعد  $\Omega$  برای پوسته در تماس با سیال داخلی و خارجی در شایط تکیه گاهی مختلف

نتایج مشابهی را می‌توان درباره یک پوسته غوطه ور در سیال مشاهده نمود (شکل های ۵ الی ۷)

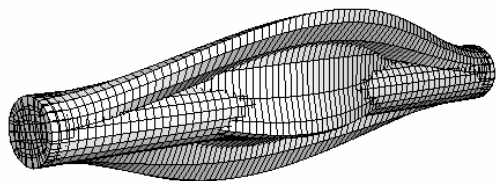


شکل ۵- اثرپارامتر مود طولی بر فرکانس‌های طبیعی پوسته غوطه ور

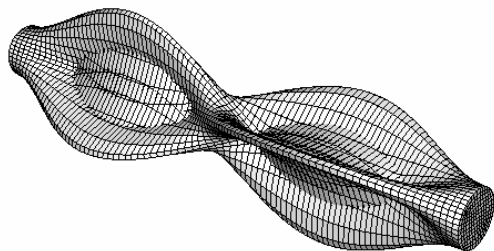
وجود سیال در اطراف پوسته چه در داخل و یا خارج پوسته همانطور که در مودهای بدبست آمده توسط ABAQUS مشاهده می‌شود (شکل های ۸ تا ۱۹) تأثیری بر شکل مودها نداشته و شکل مودهای پوسته درخال حفظ شده و فقط فرکانس‌های طبیعی و اندازه جابجاییها تغییر می‌نماید و این مطلب فرض واریتون [۵] در حل پوسته در تماس با طول بینهایت و در تماس با سیال را تصدیق می‌کند.

#### نتیجه گیری

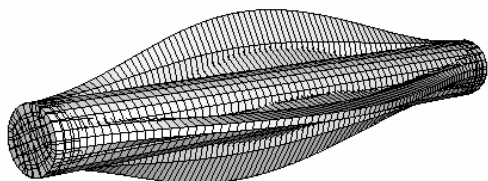
فرکانس‌های طبیعی و شکل مودهای پوسته استوانه ای در خال، غوطه ور در سیال، در تماس با سیال داخلی و خارجی با روش انتشار موج و توسط نرم-افزار ABAQUS بدبست آمد و تطابق خوبی بین نتایج مشاهده شد. همچنین مشاهده شد که شکل مودهای پوسته دراثر وجود سیال تغییر نمی-کند و تنها فرکانسها و اندازه جابجاییها تغییر می‌کند.



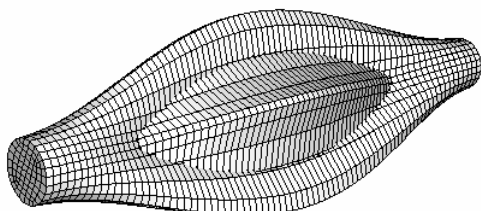
شکل ۱۴ - شکل مود (۱,۲) پوسته پرازآب



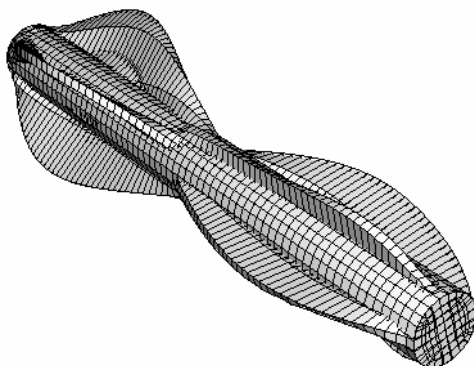
شکل ۱۰ - شکل مود (۲,۳) پوسته در خلا



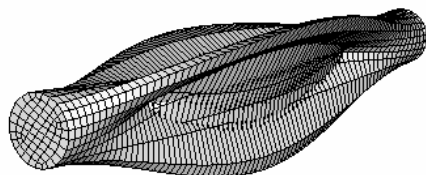
شکل ۱۵ - شکل مود (۱,۳) پوسته پرازآب



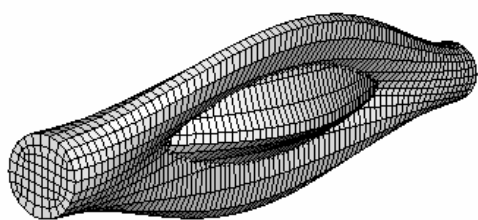
شکل ۱۱ - شکل مود (۱,۲) پوسته غوطه ور



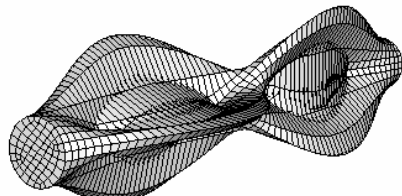
شکل ۱۶ - شکل مود (۲,۳) پوسته پرازآب



شکل ۱۲ - شکل مود (۱,۳) پوسته غوطه ور

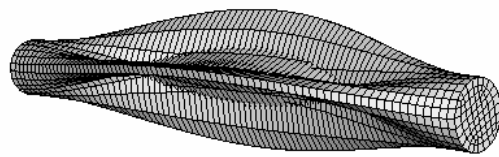


شکل ۱۷ - شکل مود (۱,۲) پوسته پراز آب و غوطه ور

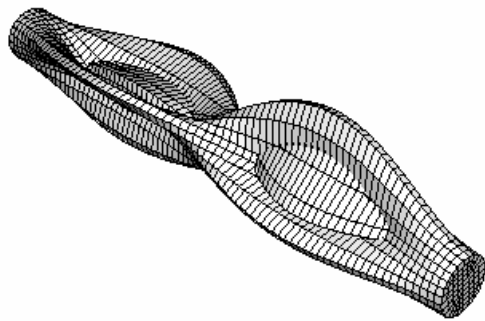


شکل ۱۳ - شکل مود (۲,۴) پوسته غوطه ور

- 7- C.R.Fuller and F.J.Fahy,1982,Characteristics of wave propagation approach and energy distribution in cylindrical elastic shells filled with fluid,Journal of Sound and Vibration,Vol. 81(4),pp.501-518
- 8- M.B.Xu , 2003 , Three methods for analyzing forced vibration of a fluid-filled cylindrical shell , Applied Acoustics,Vol.64,pp.731-752
- 9- Feit D,Liu YN , 1985 , The near field response of a line driven fluid-loaded plate , Journal of the acoustical society of America ,Vol .78,pp 763-766
- 10- Xu MB , Zhang XM,Zhang WH, 1999,Space-harmonic analysis of input power flow in a periodically stiffened shell filled with fluid, Journal of Sound and Vibration,Vol.26, pp531-546
- 11- Xu MB , Zhang XM , 1998, Vibrational power flow in a fluid-filled cylindrical shell,Journal of sound and Vibration,Vol.27,pp.587-598
- 12- X.M Zhang , G.R.Liv , K.Y.Lam , 2001 , Vibration analysis of thin cylindrical shells using wave Propagation Approach , Journal of Sound & Vibration . Vol. 239 (3) ,pp. 397-463
- 13- Li et al. , 2005 , Study on applicability of modal analysis of thin finite length cylindrical shells using wave propagation approach , Journal of Zhejiang University SCIENCE ,Vol. 10,pp.1122-1127
- 14- B.Laulagnet and J.L.Guyader,1989,Modal analysys of a shell's acoustic radiation in light and heavy fluids,Journal of Sound and Vibration Vol.131,pp.397-415
- 15- Morse PM,Ingard KU,1968, Theoretical acoustics, New York,McGraw-Hill Book Company
- 16- Blevins RD ,1979 ,Formulas for natural frequency and mode shapes.New York:Van Nostrand Reinhold
- ۱۷- محسن محمدی,۱۳۸۵, آنالیز و بررسی ارتعاشات پوسته غوطه در درسیال و بررسی اثرمحیط بر فرکانس‌های طبیعی و رفتار دینامیکی پوسته، پایان نامه کارشناسی ارشد دانشکده مهندسی مکانیک، دانشگاه صنعتی اصفهان



شکل ۱۸ - شکل مود (۱,۴) پوسته پراز آب و غوطه ور



شکل ۱۹ - شکل مود (۲,۳) پوسته پراز آب و غوطه ور

اثر پارامتر مود طولی  $m$  و پارامتر مود محیطی  $n$  و شرایط مرزی بر فرکانس‌های کوپل شده بررسی شد و مشاهده گردید که با افزایش  $n$  اختلاف بین فرکانس کوپل شده و درخلاص کاهش می‌یابد اما پس از عبور از فرکانس اصلی این اختلاف رو به افزایش است.

اثر  $m$  و شرایط مرزی تنها در مودهای پائین مهم است و در مودهای بالا برای معرفی مود موردنظر پارامتر  $n$  کافی می‌باشد.

مراجع

- 1- Mohamad S Qatu , 2002 ,Recent research advances in the dynamic behavior of shells,Journal of Applied Mechanics,Vol.55,No.5,pp.415-436
- 2- Arthur W.Leissa ,1993,Vibration of shells , Scientific and technical information office ,Washigton , DC
- 3- Werner Soedel , 1981 ,Vibration of shells and plates , Marcel Dekker,Inc.New York and Basel
- 4- M.C.Junger and Feit,1986, Sound,Structure and Their Interaction,Cambridge,MA/MIT press
- 5- H.H.Bleich and M.L.Baron ,1954 , Free and forced Vibration of infinitely long cylindrical shell in an acoustic medium ,Journal of applied mechanics,pp167-177
- 6- G.B.Warburton ,1961 , Vibration of cylindrical shell in an acoustic medium , Journal of Mechanical Engineering Science ,Vol.3 ,No.1 ,pp.69-79